

**В.П.Корченко, В.Ф.Поляков, Л.Г.Тубольцев, С.И.Семыкин,  
В.С.Лучкин, Н.И.Падун, В.А.Горохова**

## **ГАЗОНАСЫЩЕННОСТЬ МЕТАЛЛА В УСЛОВИЯХ РАЗЛИЧНЫХ ВАРИАНТОВ ТЕХНОЛОГИЙ КИСЛОРОДНО-КОНВЕРТЕРНОЙ ПЛАВКИ**

Рассмотрены основные направления снижения газонасыщенности стали при выплавке ее в кислородных конвертерах, в т.ч. с учетом перевода отечественных конвертеров на комбинированную продувку. На основе данных лабораторных исследований (конвертер садкой 1,5 т) выполнен анализ изменения содержания азота и кислорода на заключительных периодах плавки при продувке кислородом сверху и азотом через днище. Показано, что в связи с особенностями условий их проведения (высокая температура металла и низкое содержание углерода) эти периоды оказывают существенное влияние на конечное содержание газов в металле.

**конвертер, сталь, газонасыщенность, азот, кислород**

**Состояние вопроса.** Исходя из анализа мирового опыта производства стали перед сталеплавильщиками стоит задача производить металл со следующими пределами содержания химических элементов: <0,002–0,9% С; <0,2–3% Mn; 0,01–4,8% Si; 0,0035–0,3% P; 0,001–0,3% S; 0,02–0,6% V; 0,02–2% Cr; 0,01–5,0% Ni; 0,08–0,55% Mo; 0,005–0,03% Ti; 0,02–0,1% Nb; 0,0005–0,0080% В; 0,02–2,00% Al; ~ 0,002% Ca; 0,03–0,3% Cu; 0,0010–0,0015% O; 0,0001–0,0002% H; 0,0001–1% N; <0,01–0,3% Pb; <0,01% Zn; <0,01–0,1% Bi; <0,01% Sn [1–3].

Приведенные величины характеризуются очень низкими минимальными значениями содержания газов и вредных примесей (S и P), которые определяются современными требованиями к высококачественным и «чистым» сталим. Учитывая весь комплекс требований по содержанию всех элементов, их производство в рамках сквозной технологии целесообразно осуществлять кислородно-конвертерным процессом, обеспечивающим высокую чистоту по содержанию примесей цветных металлов, сопутствующих элементов и газов. Сквозная технология включает в качестве основных технологических этапов предварительную подготовку чугуна (десульфурация, десиликонизация, дефосфорация), выплавку в конвертерах чистого металлического полупродукта и доводку его на установках внепечной обработки, включая агрегаты для вакуумирования. Наличие указанных составляющих данной схемы является предпосылкой получения стали с суммарным содержанием вредных примесей (S и P), а также водорода, азота и кислорода не более 0,005%.

В настоящее время, исходя из существующего наличия участков вне-доменной десульфурации чугуна, конвертеров с комбинированной продувкой, установок для доводки и вакуумирования стали, МНЛЗ, имеются определенные предпосылки для производства сталей с указанным содер-

жанием химических элементов и газов только на Алчевском МК. Реализация той части сортамента высококачественной и «чистой» стали, которая относится к тонколистовой продукции, станет возможной после введения в эксплуатацию кислородно-конвертерного цеха на МК «Запорожсталь». В определенной степени к числу таких предприятий может быть отнесен комбинат им. Дзержинского, для которого закуплено оборудование для комбинированной продувки и где предусматривается строительство установки для десульфурации чугуна и сооружение вакууматора.

**Целью данной работы** является анализ основных направлений снижения газонасыщенности стали при выплавке ее в кислородных конвертерах, в т.ч. с учетом перевода отечественных конвертеров на комбинированную продувку.

#### Изложение основных результатов исследования.

Газонасыщенность металла определяется многими факторами. К основным из них относятся следующие:

растворимость газов (кислорода, азота, водорода) в расплавленном железе при высокой температуре;

условиями взаимодействия газов с жидким металлом;

условия и мероприятия по обеспечению дегазации жидкого металла.

Для обоснования теоретических положений могут быть использованы представленные в базовых монографиях диаграммы и зависимости, которые позволяют определить концентрации растворимого газа в железо-углеродистых расплавах. На рис.1 представлена известная диаграмма «железо-кислород» [4].

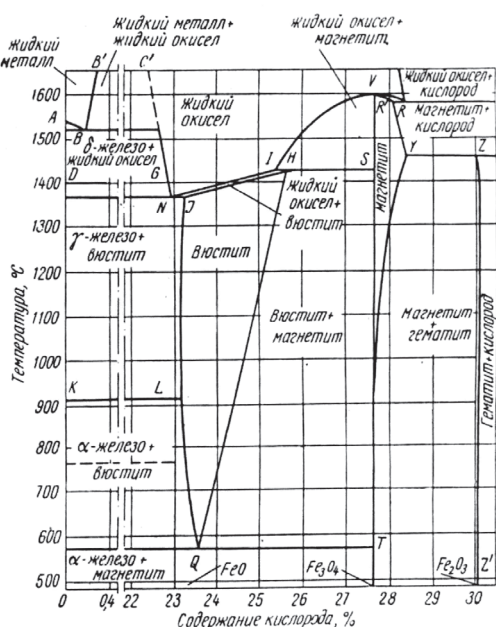
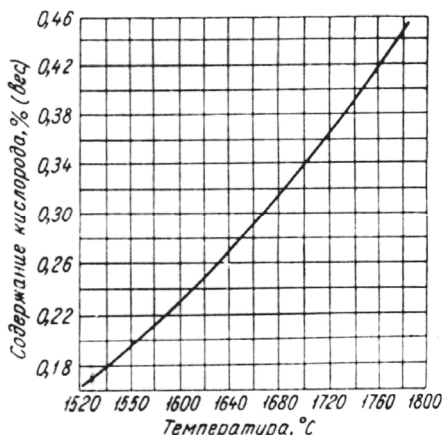


Рис.1. Диаграмма состояния «Железо-кислород».

Диаграмма характеризует растворимость кислорода в виде жидкого и твердого раствора, не учитывая иных форм его обычного присутствия в стали, в т.ч. в виде окислов различных компонентов стали и других химических соединений, в частности, неметаллических включений.

Растворимость кислорода в жидком железе зависит от температуры и характеризуется на диаграмме состояния линией ВВ'. Растворимость кислорода ограничивается образованием жидкой фазы окислов железа. В кислородном конвертере при прохождении плавки имеются все компоненты представленной диаграммы: растворимый кислород в жидком металле; кислород в составе окислов железа в шлаке и в отходящем газе.

Температурная зависимость растворимости кислорода в чистом железе, находящемся в равновесном состоянии с чистым железистым шлаком представлена на рис.2 [4–8]. Как видно из рисунка, возможности растворения кислорода в железе весьма значительные. Аналитически зависимости растворимости кислорода от температуры выражаются уравнениями:



$$\lg [\text{O}] = -6320/T + 2,734;$$

Рис.2. Зависимость растворимости кислорода от температуры в чистом железе, равновесном с чистым железистым шлаком

График зависимости содержания кислорода (O<sub>2</sub>) от температуры (°C) в металле. Ось X (температура) имеет деления от 1520 до 1800 с шагом 20. Ось Y (содержание O<sub>2</sub>) имеет деления 0,18 и 0,22. На графике изображена прямая линия, проходящая через точку (1520, 0,18) и конечную точку (1800, 0,22).

| Температура, °C | Содержание O <sub>2</sub> |
|-----------------|---------------------------|
| 1520            | 0,18                      |
| 1800            | 0,22                      |

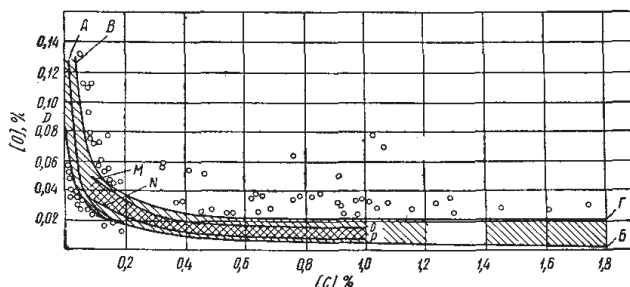


Рис.3. Содержание кислорода в металле при основном мартеновском и кислородно-конвертерном процессах в зависимости от содержания углерода: А,Б – равновесная кривая Вечера и Гамильтона; В,Г,Б,А – область концентраций углерода и кислорода при кислородно-конвертерном процессе; М,О,Р,Н – тоже при мартеновском процессе.

Содержание углерода в высококачественных и «чистых» сталях обычно не превышает 0,002–0,02%, равновесные с ними содержания кислорода находятся на уровне 0,01–0,15%, что выше чем требуемые показатели. При этом следует учитывать (рис.4), что сродство углерода к кислороду с повышением температуры увеличивается [9].

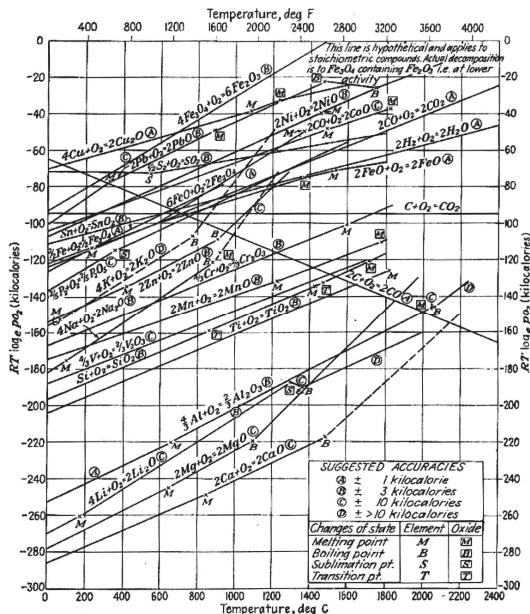


Рис.4. Свободная энергия образования окислов.

При высоких температурах углерод является раскислителем для всех элементов, отмеченных на рис.4. В пределах температур выплавки стали 1600–1700°C свои свойства как раскислителя сохраняют только Al, Li, Mg, Ca.

Что касается водорода, то количество этого газа, растворённого в железе, на всем исследо-

ванном до сих пор интервале температур (0–1745°C) пропорционально квадратному корню из парциального давления водорода:  $[H]_{Fe} = K_{Fe-H} \sqrt{P_{H_2}}$ .

Растворимость водорода в твердом и жидкокомплексном железе (т.е. его количество, растворенное в металле при парциальном давлении водорода  $P_{H_2} = 1$  атм (10 бар) в зависимости от температуры приведена на рис.5 [5–8,10]. Поскольку возможности для растворения водорода в железе весьма значительны, естественным путем предотвращения повышения содержания водорода является ограничение его присутствия в газовых фазах сталеплавильных агрегатов. Водород в металле при различных технологиях находится в пределах 0,0002–0,0008%. Кислородно-конвертерный металл обычно содержит 0,00035–0,00050% водорода [5]. В «чистых» сталях содержание водорода не должно превышать 0,0001–0,0002%, что значительно ниже исходного содержания этого газа при выпуске плавки из сталеплавильного агрегата.

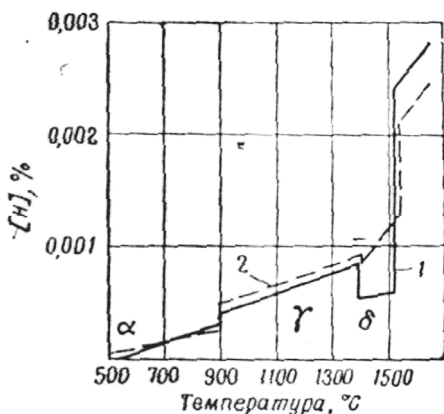


Рис.5. Температурная зависимость растворимости водорода в чистом железе.

Зависимость растворимости азота в чистом железе от температуры представлена на рис.6 [5–8,10]. Во всем исследованном интервале температур (от комнатной до 1650°C) растворимость азота пропорциональна квадратному корню из парциального давления азота:  $[N]_{Fe} = K_N \sqrt{P_{N2}}$ , где  $P_{N2}$  – парциальное давление азота, атм;  $[N]$  – содержание азота, процент весовой. Для жидкого железа  $\lg [K_N] = -634/T - 1,06$ .

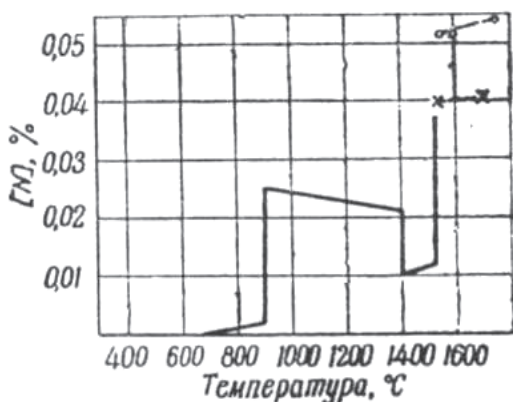


Рис.6. Температурная зависимость растворимости азота в чистом железе.

Из рис.5 и 6 видно, что при определенных температурах склонность водорода и азота к растворению в металлическом расплаве резко увеличивается, что связано с процессами из-

менения фазового состояния металла.

Содержание азота в металле при различных технологиях находится в пределах 0,002–0,010%. Кислородно-конвертерный металл содержит 0,005–0,007% азота [5]. В сталях с особыми свойствами, в состав которых дополнительно увеличивают концентрацию азота для обеспечения высоких прочностных характеристик, содержание азота может достигать 1%, что требует принятия специальных мер.

В конвертерной стали содержание азота в значительной мере зависит от содержания азота в дутье. При содержании азота в дутье на уровне 0,5% обеспечивается содержание азота в металле 0,004% (рис.7) [11].

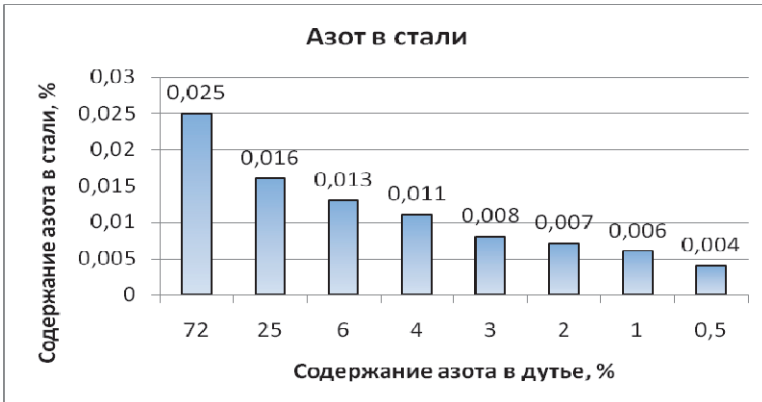


Рис.7. Зависимость содержания азота в стали от содержания азота в дутье.

В условиях экспериментальной базы ИЧМ на 1,5-тонном конвертере было проведено исследование влияния кислородно-конвертерных технологий на содержание кислорода и азота в металле.

Всего было опробовано более 60-ти вариантов технологий, из которых выделено 5 базовых:

- А – верхняя продувка ( $O_2$  сверху);
- Б – комбинированная продувка ( $O_2$  сверху,  $N_2$  снизу);
- В – комбинированная продувка ( $O_2$  сверху,  $O_2$  снизу);
- Г – 100% лома (без жидкого чугуна);
- Д – донная продувка ( $O_2$  снизу).

По 22 вариантам полученные результаты частично представлены на рис.8 и 9.

На рис.8 представлены данные по содержанию углерода и кислорода в металле при различных вариантах технологии кислородно-конвертерной плавки. Как видно из представленных данных содержание кислорода зависит от содержания углерода в металле и в меньшей степени связано с вариантом технологии продувки, что подтверждает зависимость, представленную на рис.3.

На рис.9 представлены данные по содержанию азота в металле при различных конвертерных технологиях (А,Б,В,Г,Д). Содержание азота в металле в значительной степени зависит от варианта технологии продувки и использования топлива, которое применяется для повышения доли лома в завалке и при технологии получения металла без применения жидкого чугуна. Химический состав угольного топлива представлен в таблице.

При применении природного газа увеличивается содержание водорода в газовой фазе. При использовании угольного топлива в газовой фазе с большой вероятностью могут появляться составляющие летучих угольного топлива, в состав которых входят следующие газы:  $CO$ ,  $CO_2$ ,  $H_2$ ,  $CH_4$ ,

$C_2H_4$ ,  $C_mH_n$ ,  $H_2S$ ,  $N_2$ . Состав и количество летучих зависят от состава и свойств угольного теплоносителя.



Рис.8. Содержание углерода и кислорода в металле при различных технологиях кислородно-конвертерной плавки (углерод – левые столбики, кислород – правые столбики). А,Б,В,Г,Д – базовые технологии, цифры – подварианты базовых технологий. Индекс «г» обозначает применение топлива (теплоносителей: природный газ, угольное топливо в кусковом и порошкообразном виде).



Рис.9. Содержание азота в стали при различных технологиях кислородно-конвертерной плавки. Обозначения те же, что и на рис.8.

Наиболее низкие содержания азота получены в условиях донной и верхней продувки. При комбинированной продувке с использованием азота и, особенно, в случаях применения топлива, содержание азота в металле значительно увеличивается. Отмечено, что колебания по содержанию азота связаны также с конструкцией продувочных форм.

Таблица. Химический состав угольного топлива.

| Наименование                            | Технический анализ, % |                |                |                |      | Химсостав золы, % |                  |       |                   |                                |
|---|-----------------------|----------------|----------------|----------------|------|-------------------|------------------|-------|-------------------|--------------------------------|
|   | C                     | W <sub>a</sub> | A <sub>a</sub> | V <sub>a</sub> | S    | CaO               | SiO <sub>2</sub> | MgO   | Fe <sub>общ</sub> | Al <sub>2</sub> O <sub>3</sub> |
| Угольные порошки:                       |                       |                |                |                |      |                   |                  |       |                   |                                |
| из углей марки Т (точий)                | 77-78,8               | 1,45           | 7,21           | 13,27          | 0,31 | 53,27             | 3,43             | 1,67  | 6,21              | 24,63                          |
| пыль УСГК                               | 83,43                 | 1,0            | 9,97           | 2,03           | 0,5  | 11,29             | 36,6             | 3,56  | 12,09             | 21,88                          |
| полукокс (из бурого угля)               | 68,77                 | 7,68           | 11,6           | 11,9           | 0,32 | 32,08             | 29,54            | 3,66  | 17,33             | 6,46                           |
| термоуголь (из бурого угля)             | 63,09                 | 4,6            | 7,75           | 25,12          | 0,36 | 35,94             | 11,56            | 4,35  | 12,69             | 6,28                           |
| из антрацита Листвянского шахгоупрления | 78,7-79,9             | 2,9            | 13,11          | 2,95           | 0,24 | 2,1               | 61,6             | 0,6   | 3,6               | 22,99                          |
| Уголь кусковый:                         |                       |                |                |                |      |                   |                  |       |                   |                                |
| антрацит                                | 82,0                  | 2,6            | 11,75          | 1,98           | 1,54 | 4,82              | 31,94            | 23,95 | 18,54             | 9,2                            |
| CC (слабоспекающийся)                   | 80,2-82,7             | 2,06           | 5,6            | 15,7-          | 0,4  | 1,4               | 42,04            | 0,4   | 6,1               | 24,1                           |

Особый интерес представляют полученные данные по содержанию азота в металле при комбинированной продувке с использованием азота для донного дутья (вариант Б). Такая технология наиболее простая и планируется к использованию в кислородно-конвертерных цехах Украины в ближайшем будущем. С целью более подробного изучения такого варианта технологии исследовалась технология комбинированной продувки, которая включала следующую совокупность заключительных этапов плавки:

1. начало падения факела;
2. полное падение факела;
3. передув после полного падения факела;
4. продувка (промывка) металла нейтральным газом после передува;
5. продувка (промывка) металла нейтральным газом после полного падения факела.

Как следует из полученных экспериментальных данных, заключительные этапы характеризуются высокой температурой металла (рис.10) и низким содержанием углерода (рис.11), что предопределяет возможности существенного влияния этих факторов на уровень газонасыщенности металла.

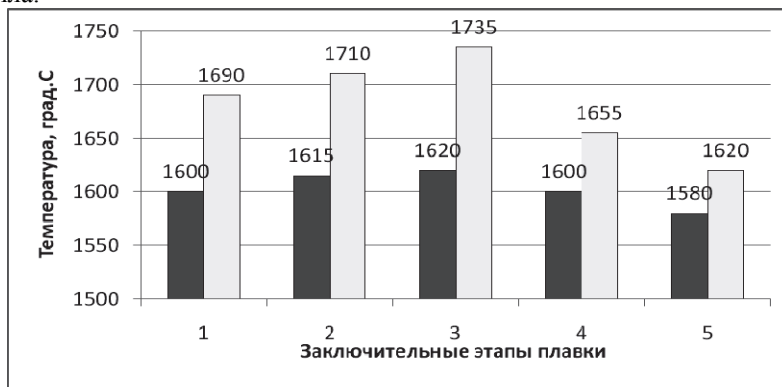


Рис.10. Изменение температуры металла по заключительным этапам кислородно-конвертерной плавки. На представленных рисунках левый столбик обозначает минимальное значение из совокупности данных, правый столбик – максимальное значение.

Содержание кислорода в металле на исследуемых заключительных этапах технологии с комбинированной продувкой (рис.12) находилось в пределах 0,0411–0,1199%, что соответствует уровню значений при чисто верхней кислородной продувке (0,040–0,12%) при содержаниях углерода 0,05–0,10% [3-5]. При этом следует отметить, что содержание углерода на исследуемых этапах комбинированной продувки были несколько ниже, чем при верхней, и находились в пределах 0,01–0,053%. При анализе поэтапной динамики отмечаются следующие особенности. Концентрация

кислорода в период передувка после полного падения факела снижается от 0,0579–0,1199% до 0,0411–0,0916%. В периоды продувки нейтральным газом после полного падения факела и после передувка содержание кислорода в металле стабилизируется и в целом снижается.

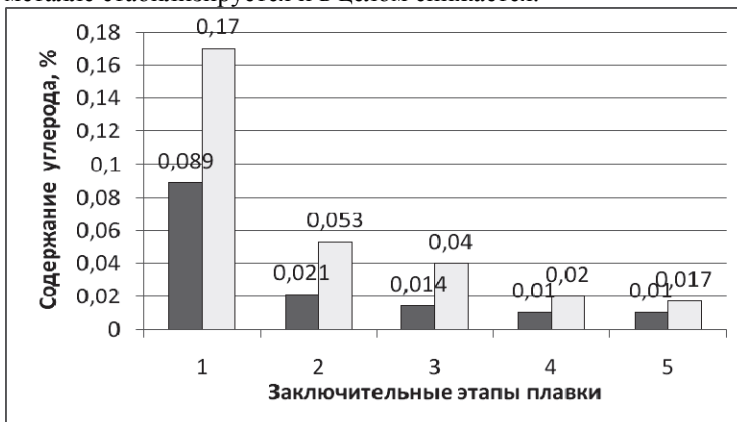


Рис.11 Изменение содержания углерода в металле по заключительным этапам плавки. Обозначения как и на рис.10.

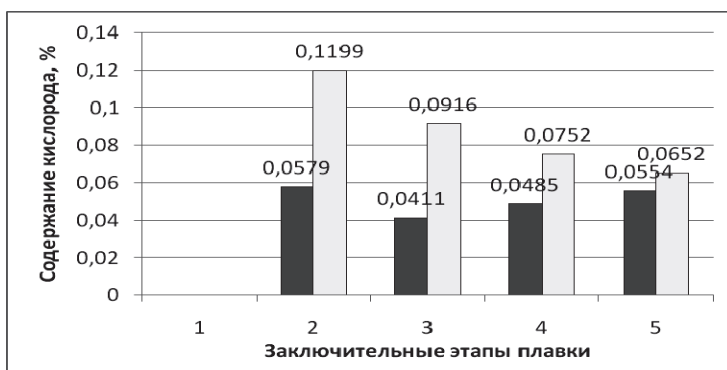


Рис.12. Изменение содержания кислорода в металле по заключительным этапам плавки. Обозначения как и на рис.10.

Полученные данные по содержанию азота в металле на заключительных этапах плавки представлены на рис.13. Как и предполагалось, концентрация азота в металле может превысить требования, предъявляемые к кислородно-конвертерной стали. Однако вопрос о фактических значениях вероятных концентраций азота был открыт. Также не было данных для оценки возможности ограниченного использования азота с целью экономии дорогостоящего инертного газа (аргона).

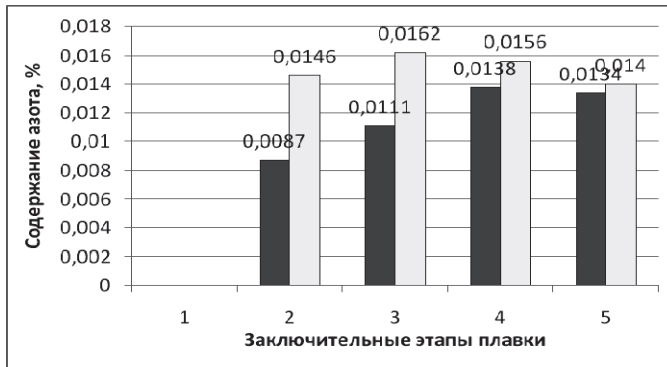


Рис.13. Изменение содержания азота в металле по заключительным этапам плавки. Обозначение как и на рис.10.

Как свидетельствуют полученные данные, наиболее высокие концентрации азота после передувка (0,0216%) и после последующей продувки (промывки) металла азотом (0,0234%) зафиксированы при максимальных расходах азота в эти периоды. В целом тенденция к повышению концентрации азота проявляется в течение всех заключительных этапов плавки.

Таким образом, в условиях технологии комбинированной продувки (подача кислорода сверху и азота через донные фурмы) в конвертере содержание кислорода в металле на заключительных этапах плавки снижается, а азота – увеличивается. Естественно, при необходимости получения низкого содержания азота в металле на заключительных этапах плавки должен применяться другой перемешивающий газ – аргон.

### **Заключение.**

Рассмотрены основные направления снижения газонасыщенности стали при выплавке ее в кислородных конвертерах, в т.ч. с учетом перевода отечественных конвертеров на комбинированную продувку. На основе данных лабораторных исследований (конвертер садкой 1,5 т) выполнен анализ изменения содержания азота и кислорода на заключительных периодах плавки при продувке кислородом сверху и азотом через днище. Показано, что в связи с особенностями условий их проведения (высокая температура металла и низкое содержание углерода) заключительные периоды плавки оказывают существенное влияние на конечное содержание газов в металле.

Установлены основные технологические направления, обеспечивающие уменьшение газонасыщенности кислородно-конвертерного металла, а именно:

выбор оптимального варианта базовой технологии (верхняя, донная, комбинированная продувка);

выбор оптимальной конструкции дутьевых устройств;

использование перемешивающего и защитного газа на заключительных этапах кислородно-конвертерной плавки;

оптимизация использования различных видов топлива в процессе кислородно-конвертерной плавки с повышенной долей лома.

1. *Новые разработки в производстве ультратризоуглеродистой стали для автомобильного производства на фирме «CSN Frsilor» в Бразилии.* / С.Родригес, Ж.Тран, С.Л.Кардозо, М.А.Кастрпо Барцелос // Новости черной металлургии за рубежом. – 2007. – №6. – С.76-77
2. *Бродов А.А. Смирнов Г.И.* Перспективы рынка сталей повышенной прочности для автомобилестроения // Сталь. – 2005. – №3. – С.101-105.
3. *Банненберг Н., Стрейсембергер А., Швинн В.* Новые толстолистовые стали для нефтяной и газовой промышленности // Новости черной металлургии за рубежом. – 2007. – №6. – С.77-78.
4. *Трубин К.Г. Ойкс Г.Н.* Металлургия стали (Мартеновский процесс). – М.:Металлургиздат, 1951.
5. *Сталеплавильное производство.* Справочник. Том.1. Под общей редакцией чл.корр.АН СССР А.М.Самарина. М.: Металлургия, 1964. – 527 с.
6. *Явойский В.И.* Теория процессов производства стали. – М.:«Металлургия», 1963. – 820с.
7. *Явойский В.И.* Теория процессов производства стали. – М.:«Металлургия», 1967. – 792с.
8. *Металлургия стали.* Под редакцией В.И.Явойского, Г.Н.Ойкса. – М.:Металлургия, 1973. – 816 с.
9. *Basic open hearth steelmaking.* Edited by W.O.Philbrook and M.B.Bever, New York, 1951. – 940 р.
10. *Явойский В.И.* Газы и включения в стальном слитке. – М.:Металлургия, 1955. – 247 с.
11. *Афанасьев С.Г.* Краткий справочник конвертерщика. – М.Металлургия, 1967. – 160 с.

*Статья рекомендована к печати докт.техн.наук, проф. Э.В.Приходько*

***В.П.Корченко, В.Ф.Поляков, Л.Г.Тубольцев, С.І.Семікін,  
В.С.Лучкін, Н.І.Падун, В.О.Горохова***

**Газонасиченість металу в умовах різних варіантів технологій киснево-конвертерної плавки**

Розглянуто основні напрями зниження газонасиченості сталі при виплавці її в кисневих конвертерах, у т.ч. з урахуванням переведення вітчиняних конвертерів на комбіновану продувку. На основі даних лабораторних досліджень (конвертер садкою 1,5 т) виконано аналіз зміни вмісту азоту і кисню на заключних періодах плавки при продувці киснем зверху і азотом через днище. Показано, що, у зв'язку з особливостями умов проведення заключних періодів плавки (висока температура металу і низький вміст вуглецю), ці періоди спровокують істотний вплив на кінцевий вміст газів у металі.